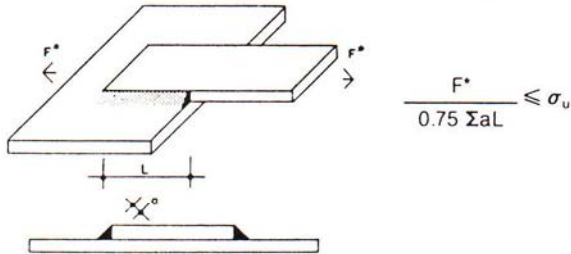


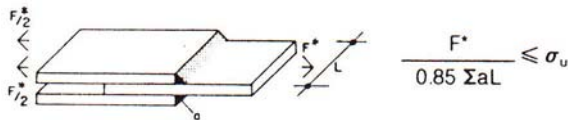
Ejercicios resueltos. Enunciados (NBE EA-95, Anejo 3.A6)

Unión	Expresión práctica
-------	--------------------

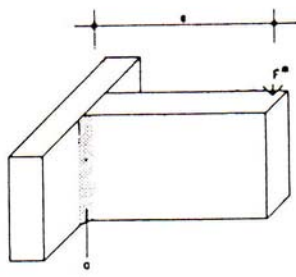
Caso 1. Tracción. Sólo soldaduras laterales



Caso 2. Tracción. Sólo soldaduras frontales



Caso 8. Flexión simple. Sólo soldaduras frontales longitudinales
Debe cumplirse



$$\sigma_c \leq \sqrt{\sigma^2 + 1.8(\tau_n^2 + \tau_a^2)} \leq \sigma_u$$

En estas expresiones:

$$\sigma = \frac{3}{\sqrt{2}} \cdot \frac{F^*e}{aL^2}$$

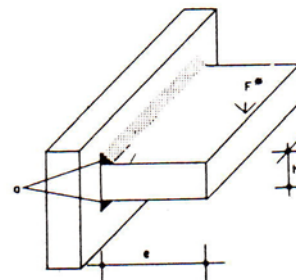
$$\tau_n = \frac{3}{\sqrt{2}} \cdot \frac{F^*e}{aL^2}$$

$$\tau_a = \frac{F^*}{2aL}$$

Para $e \geq L$

$$\sigma_c = 3.55 \frac{F^*e}{aL^2} \leq \sigma_u$$

Caso 9. Flexión simple. Sólo soldaduras frontales transversales



$$\sigma = \frac{1}{\sqrt{2}} \cdot \frac{F^*e}{W}$$

$$\tau_n = \frac{1}{\sqrt{2}} \cdot \frac{F^*e}{W}$$

$$\sigma_c = \sqrt{\sigma^2 + 1.8\tau_n^2} = \frac{F^*e}{W} \sqrt{1.4} \approx 1.18 \frac{F^*e}{W} \leq \sigma_u$$

Siendo W el módulo resistente de las soldaduras.

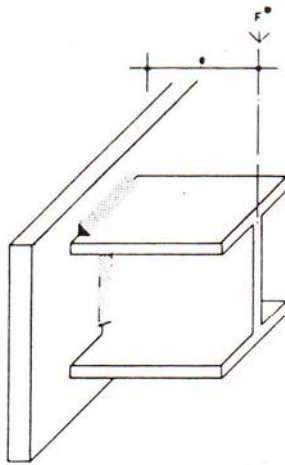
Para $h \geq a$

$$\sigma_c \approx 1.18 \frac{F^*e}{Lha} \leq \sigma_u$$

Unión

Expresión práctica

Caso 10. Flexión simple. Soldaduras frontales, longitudinales y transversales



Soldaduras a₁:

$$\sigma_c = \sqrt{1.4} \frac{F^*e}{W} \approx 1.18 \frac{F^*e}{W} \leq \sigma_u$$

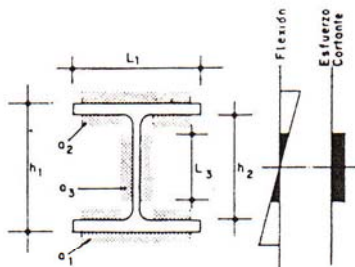
Soldaduras a₂:

$$\sigma_c \approx 1.18 \frac{h_2 - a_2}{h_1 + a_1} \cdot \frac{F^*e}{w} \leq \sigma_u$$

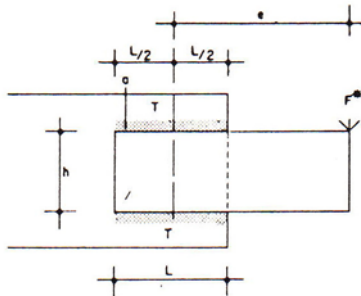
Soldaduras a₃:

$$\sigma_c = \sqrt{1.4 \left(\frac{F^*e}{W} \cdot \frac{L_3}{h_1 + a_1} \right)^2 + 1.8 \left(\frac{F^*}{2L_3a_3} \right)^2} \leq \sigma_u$$

Siendo W el módulo resistente de las soldaduras. Puede también considerarse absorbido el momento por las soldaduras a₁ y a₂ y el esfuerzo cortante por las soldaduras a₃.



Caso 11. Torsión y esfuerzo cortante combinados. Sólo soldaduras laterales



Para $0.5h < L < 2h$

$$\begin{aligned} \sigma_c &= \sqrt{0.35 \left(\frac{F^*}{La} \right)^2 + 1.8 \left(\frac{F^*e}{h+a} \cdot \frac{1}{La} \right)^2} \\ &= \frac{F^*}{La} \sqrt{0.35 + 1.8 \left(\frac{e}{h+a} \right)^2} \leq \sigma_u \end{aligned}$$



① Caso 1 (EA-95). Tracción. Soldaduras laterales.

$$\tau_{II} = \frac{F}{2aL} \quad \begin{array}{c} a \\ \hline \hline a \\ \hline L \end{array} \rightarrow F$$

$$\sqrt{3} \tau_{II}^2 = \sqrt{3} \cdot \tau_{II} \leq \frac{f_u}{\beta_w \gamma_{M2}} ; \quad \boxed{\frac{\sqrt{3} F}{2aL} \leq \frac{f_u}{\beta_w \gamma_{M2}}}$$

$$\Rightarrow a \geq \frac{\sqrt{3} \gamma_{M2} \beta_w}{2 f_u} \cdot \frac{F}{L} = \frac{1.08 \beta_w}{f_u} \cdot \frac{F}{L}$$

$\gamma_{M2} = 1.25$

② Caso 2 (EA-95). Tracción. Soldaduras frontales.

$$\begin{array}{c} L \\ \hline \hline a \\ \hline a \end{array} \rightarrow F \quad n = \frac{F}{2aL} \Rightarrow \begin{cases} \sigma = \frac{\sqrt{2}}{2} \frac{F}{2aL} \\ \tau_{\perp} = -\frac{\sqrt{2}}{2} \frac{F}{2aL} \end{cases}$$

$$\sqrt{\sigma^2 + 3\tau_{\perp}^2} = \sqrt{\left(\frac{\sqrt{2}}{2} \frac{F}{2aL}\right)^2 + 3\left(-\frac{\sqrt{2}}{2} \frac{F}{2aL}\right)^2} =$$

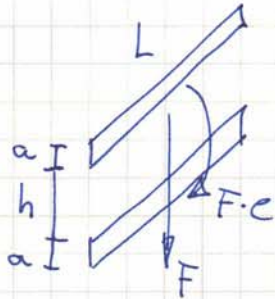
$$= \frac{\sqrt{2}}{2} \frac{F}{2aL} \sqrt{1+3} = \boxed{\frac{\sqrt{2} F}{2aL} \leq \frac{f_u}{\beta_w \gamma_{M2}}} \rightarrow$$

$$\Rightarrow a \geq \frac{\sqrt{2}}{2} \gamma_{M2} \frac{\beta_w}{f_u} \cdot \frac{F}{L} = \frac{1.88 \beta_w}{f_u} \cdot \frac{F}{L}$$

$\gamma_{M2} = 1.25$



③ Caso 9 (EA-95). Flex. simple. Soldaduras frontales transversales.



Plano abati-do:

$$n = \frac{F \cdot e}{(h t_a) L a} \quad ; \quad t_{\perp} = \frac{F}{2 a L}$$

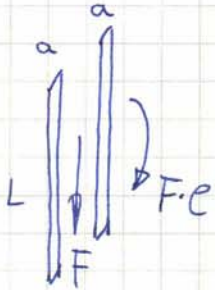
Plano perpendicular:

$$\left\{ \begin{array}{l} \sigma = \frac{\sqrt{2}}{2} n + \frac{\sqrt{2}}{2} t_{\perp} = \frac{\sqrt{2}}{2} \frac{F \cdot e}{(h t_a) L a} + \frac{\sqrt{2}}{2} \frac{F}{2 a L} \\ \tau_{\perp} = -\frac{\sqrt{2}}{2} n + \frac{\sqrt{2}}{2} t_{\perp} = -\frac{\sqrt{2}}{2} \frac{F \cdot e}{(h t_a) L a} + \frac{\sqrt{2}}{2} \frac{F}{2 a L} \end{array} \right.$$

$$\sqrt{\sigma^2 + 3 \tau_{\perp}^2} \leq \frac{f_u}{\beta_w \cdot \gamma_{M2}}$$



④ Caso 8 (EA-95). Flex. simple. Soldaduras frontales longitudinales.



Plano abatido:

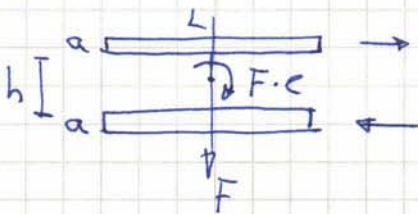
$$n = \frac{M}{F} \cdot \frac{L}{2} = \frac{F \cdot e}{2 \frac{1}{12} a L^3} \cdot \frac{L}{2} = \frac{3Fe}{aL^2}$$

$$t_{\perp} = \frac{F}{2aL}$$

Plano garganta:

$$\left. \begin{aligned} \sigma &= \frac{\sqrt{2}}{2} n + \frac{\sqrt{2}}{2} t_{\perp} = \frac{\sqrt{2}}{2} \frac{3Fe}{aL^2} \\ \tau_{\perp} &= -\frac{\sqrt{2}}{2} n + \frac{\sqrt{2}}{2} t_{\perp} = -\frac{\sqrt{2}}{2} \frac{3Fe}{aL^2} \\ \tau_{\parallel} &= t_{\parallel} = \frac{F}{2aL} \end{aligned} \right\} \sqrt{\sigma^2 + 3(\tau_{\perp}^2 + \tau_{\parallel}^2)} \leq \frac{f_u}{\beta_w \gamma_{M2}}$$

⑤ Caso 11 (EA-95). Torsión y cortante. Soldaduras laterales.



Plano abatido

$$t_{\perp} = \frac{F}{2aL}$$

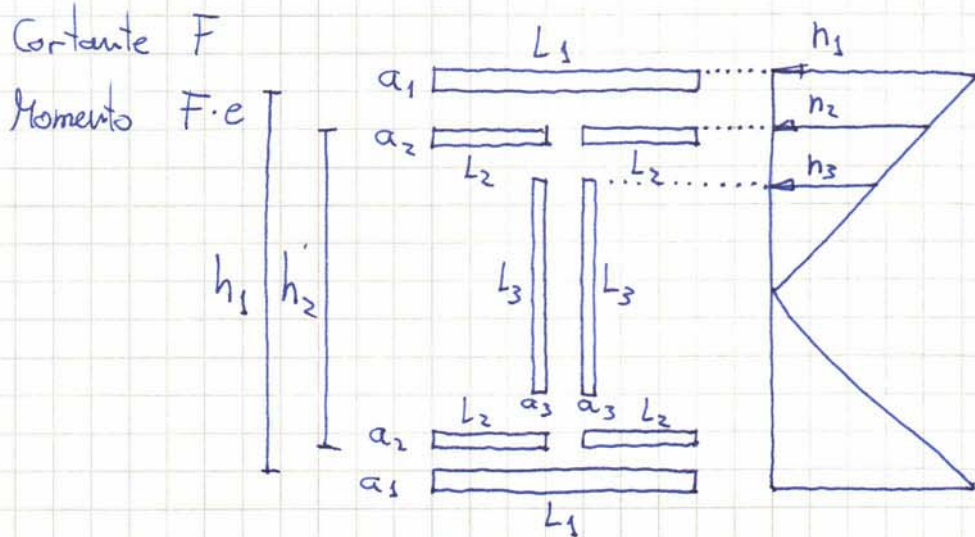
$$t_{\parallel} = \frac{F \cdot e}{(hta)La}$$

Plano garganta

$$\left. \begin{aligned} \sigma &= \frac{\sqrt{2}}{2} \frac{F}{2aL} \\ \tau_{\perp} &= \frac{\sqrt{2}}{2} \frac{F}{2aL} \\ \tau_{\parallel} &= \frac{F \cdot e}{(hta)La} \end{aligned} \right\} \sqrt{\sigma^2 + 3(\tau_{\perp}^2 + \tau_{\parallel}^2)} \leq \frac{f_u}{\beta_w \gamma_{M2}}$$



6) Caso 10. (EA-75). Flex. simple. Sold. front., longitud. y transv.



$$n_1 = \frac{F \cdot e}{I} \left(\frac{h_1}{2} + a_1 \right); \quad n_2 = \frac{F \cdot e}{I} \cdot \frac{h_2}{2}; \quad n_3 = \frac{F \cdot e}{I} \cdot \frac{L_3}{2}$$

$I \equiv$ Inercia de la sección completa de los planos abastidos

Suponemos q. todo el cortante se absorbe por el alma:

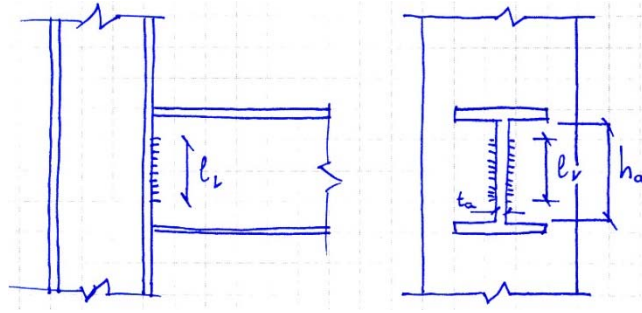
$$t_{\parallel 3} = \frac{F}{2 a_3 L_3}$$

$$\boxed{a_1} \left\{ \begin{array}{l} \sigma_1 = \frac{\sqrt{2}}{2} n_1 \\ \tau_{\perp 1} = -\frac{\sqrt{2}}{2} n_1 \end{array} \right.$$

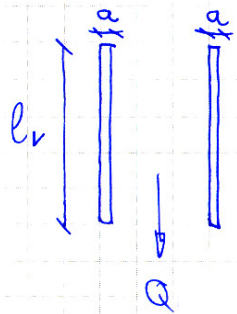
$$\boxed{a_2} \left\{ \begin{array}{l} \sigma_2 = \frac{\sqrt{2}}{2} n_2 \\ \tau_{\perp 2} = -\frac{\sqrt{2}}{2} n_2 \end{array} \right.$$

$$\boxed{a_3} \left\{ \begin{array}{l} \sigma_3 = \frac{\sqrt{2}}{2} n_3 \\ \tau_{\perp 3} = -\frac{\sqrt{2}}{2} n_3 \\ \tau_{\parallel 3} = t_{\parallel 3} \end{array} \right.$$

Para cada garganta se aplica la condición de agotamiento.

Ejercicio 7**Unión articulada viga-columna mediante cordones de alma****a) Diseño de la unión a resistencia parcial**

Una distribución de tensiones en equilibrio con el esfuerzo cortante a transmitir puede ser:



$$\tau_{\parallel} = t_{\parallel} = \frac{Q}{2al_v}$$

$$\sqrt{\sigma^2 + 3(\tau_{\perp}^2 + \tau_{\parallel}^2)} = \sqrt{3}\tau_{\parallel} = \frac{\sqrt{3}Q}{2al_v} \leq \frac{f_u}{\beta_W \gamma_{M2}}$$

Despejando la garganta:

$$a \geq \frac{\sqrt{3}\gamma_{M2}\beta_W Q}{2f_u l_v} = \frac{1,08\beta_W Q}{f_u l_v}$$

Si el cortante Q a transmitir es pequeño, la unión debe dimensionarse mediante un cortante de valor $Q = \max [Q, Q_{\max}/3]$, siendo Q_{\max} el cortante máximo resistente del perfil de la viga.

b) Diseño de la unión a resistencia total

Los cordones de soldadura tienen que dimensionarse frente al cortante máximo que es capaz de resistir el perfil de la viga:

$$Q_{\max} = V_{c,Rd} = V_{pl,Rd} = A_V \frac{f_{yd}}{\sqrt{3}} = ht_w \frac{f_y/1,05}{\sqrt{3}}$$

siendo h el canto del perfil y $t_w = t_a$ el espesor del alma

Sustituyendo en la expresión de la garganta:

$$a \geq \frac{1,08\beta_W Q_{\max}}{f_u l_v} = 0,595 \frac{\beta_W f_y}{f_u} \frac{h t_w}{l_v} = 0,32 h t_w / l_v$$

Para acero S-275
y perfil IPE

Se recomienda un valor de $l_v \in [h/2, 2h/3]$

Si $l_v = h/2$:

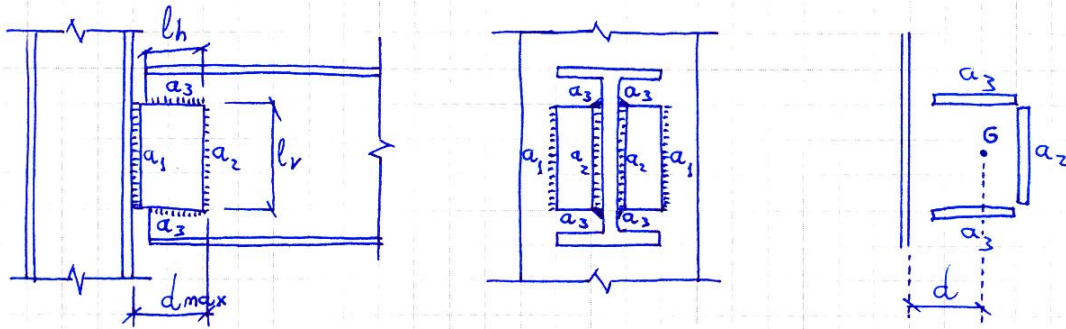
$$a \geq 0,595 \frac{\beta_W f_y}{f_u} \frac{h t_w}{l_v} = 1,19 \frac{\beta_W f_y}{f_u} t_w = 0,65 t_w$$

Para acero S-275
y perfil IPE

Si $l_v = 2h/3$:

$$a \geq 0,595 \frac{\beta_W f_y}{f_u} \frac{h t_w}{l_v} = 0,893 \frac{\beta_W f_y}{f_u} t_w = 0,49 t_w$$

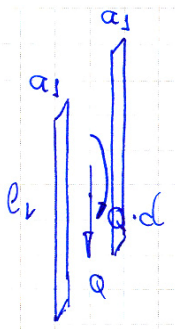
Para acero S-275
y perfil IPE

Ejercicio 8 (resolución paramétrica)**Unión articulada viga-columna mediante angulares**

Por la viga se transmite un cortante Q a la columna, existiendo una excentricidad d al c.d.g. de los cordones 2 y 3, por lo que aparece un momento $M = Q d$.

1. Cordones a_1

Una distribución de tensiones en equilibrio con Q y con M puede ser:



$$n = \frac{M l_v}{I \cdot 2} = \frac{Qd}{2 \frac{1}{12} a_1 l_v^3} \frac{l_v}{2} = \frac{3Qd}{a_1 l_v^2}$$

$$t_{\parallel} = \frac{Q}{2l_v a_1}$$

Las tensiones en el plano de la garganta resultan:

$$\sigma = \frac{\sqrt{2}}{2} n + \frac{\sqrt{2}}{2} t_{\perp} = \frac{3\sqrt{2}}{2} \frac{Qd}{a_1 l_v^2}$$

$$\tau_{\perp} = -\frac{\sqrt{2}}{2} n + \frac{\sqrt{2}}{2} t_{\perp} = -\frac{3\sqrt{2}}{2} \frac{Qd}{a_1 l_v^2}$$

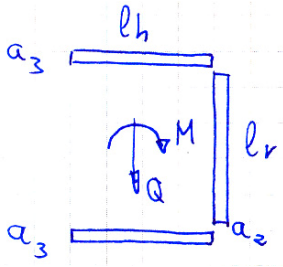
$$\tau_{\parallel} = t_{\parallel} = \frac{Q}{2l_v a_1}$$

Aplicándose, a continuación, el criterio de agotamiento:

$$\sqrt{\sigma^2 + 3(\tau_{\perp}^2 + \tau_{\parallel}^2)} \leq \frac{f_u}{\beta_W \gamma_{M2}}$$

$$\sigma \leq \frac{0,9f_u}{\gamma_{M2}}$$

2. Cordones a_2 y a_3



Podemos suponer que el cortante Q (ahora sería igual a la mitad del cortante total) lo absorbe el cordón vertical

$$t_{\parallel} = \frac{Q}{l_v a_2}$$

y que el momento M se reparte mediante un par de fuerzas en los cordones horizontales de valor $F \approx M/l_v = Qd/l_v$:

$$t_{\parallel} = \frac{Qd}{l_v l_h a_3}$$

Por tanto, para a_2 resulta:

$$\sqrt{\sigma^2 + 3(\tau_{\perp}^2 + \tau_{\parallel}^2)} = \sqrt{3}\tau_{\parallel} = \frac{\sqrt{3}Q}{l_v a_2} \leq \frac{f_u}{\beta_W \gamma_{M2}}$$

$$a_2 \geq \frac{\sqrt{3}\gamma_{M2}\beta_W Q}{f_u l_v} = \frac{2,165\beta_W Q}{f_u l_v}$$

Y para a_3 :

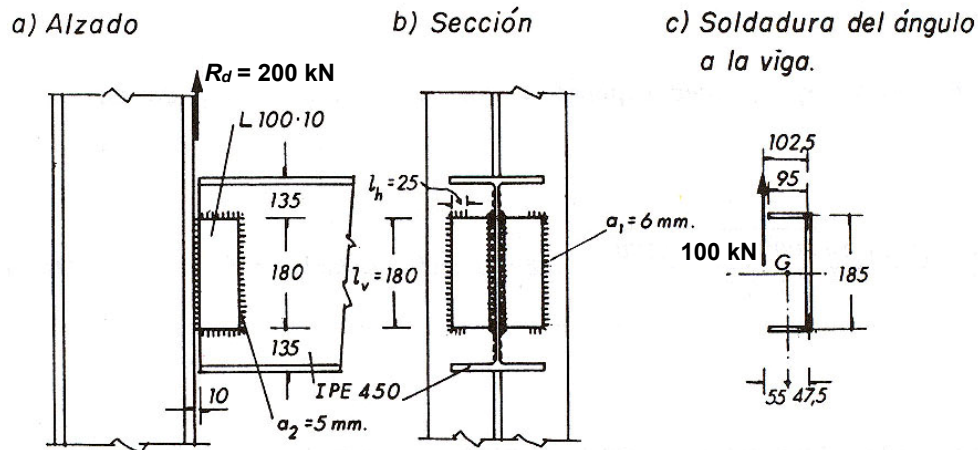
$$\sqrt{\sigma^2 + 3(\tau_{\perp}^2 + \tau_{\parallel}^2)} = \sqrt{3}\tau_{\parallel} = \frac{\sqrt{3}Qd}{l_v l_h a_3} \leq \frac{f_u}{\beta_W \gamma_{M2}}$$

$$a_3 \geq \frac{\sqrt{3}\gamma_{M2}\beta_W Qd}{f_u l_v l_h} = \frac{2,165\beta_W Qd}{f_u l_v l_h}$$

Ejercicio 8 (aplicación numérica)

Comprobar la unión viga columna articulada de la figura, utilizando casquillos de angular L 100×10, que ha de soportar una reacción de cálculo $R_d = 200$ kN.

Acero S 275 JR. Cordones: $a_1 = 6$ mm; $a_2 = a_3 = 5$ mm.



Fuente: Argüelles R et al, 2001

1. Cordones a_1

Datos: $Q = 2 \cdot 10^5$ N $d = 55$ mm $a_1 = 6$ mm
 $l_v = 180$ mm $f_u = 430$ MPa $\beta_w = 0,85$ $\gamma_{M2} = 1,25$

Resultados:

$$\sigma = \frac{3\sqrt{2}}{2} \frac{Qd}{a_1 l_v^2} = \frac{3\sqrt{2}}{2} \frac{2 \cdot 10^5 \cdot 55}{6 \cdot 180^2} = 120,03 \text{ MPa}$$

$$\tau_{\perp} = -\frac{3\sqrt{2}}{2} \frac{Qd}{a_1 l_v^2} = -120,03 \text{ MPa}$$

$$\tau_{\parallel} = \frac{Q}{2l_v a_1} = \frac{2 \cdot 10^5}{2 \cdot 180 \cdot 6} = 92,59 \text{ MPa}$$

Al aplicar a continuación el criterio de agotamiento resulta:

$$\sqrt{\sigma^2 + 3(\tau_{\perp}^2 + \tau_{\parallel}^2)} = 288,70 \text{ MPa} \leq \frac{f_u}{\beta_w \gamma_{M2}} = 404,71 \text{ MPa}$$

$$\sigma = 120,03 \text{ MPa} \leq \frac{0,9f_u}{\gamma_{M2}} = 309,60 \text{ MPa}$$

✓

2. Cordones a_2 y a_3

Datos: $Q = 10^5 \text{ N}$ $d = 55 \text{ mm}$ $a_2 = a_3 = 5 \text{ mm}$ $l_v = 180 \text{ mm}$
 $l_h = 90 \text{ mm}$ $f_u = 430 \text{ MPa}$ $\beta_w = 0,85$ $\gamma_{M2} = 1,25$

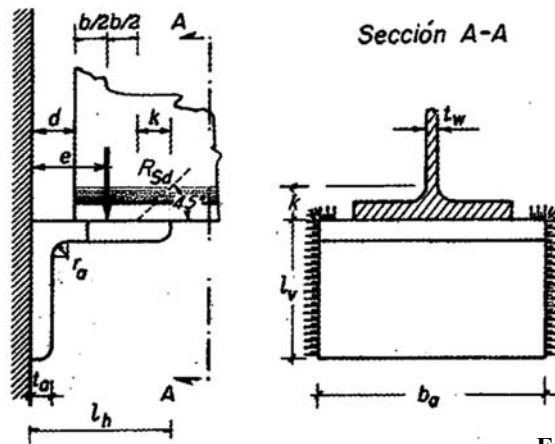
Resultados:

Para a_2 :

$$\sqrt{\sigma^2 + 3(\tau_{\perp}^2 + \tau_{\parallel}^2)} = \sqrt{3}\tau_{\parallel} = \frac{\sqrt{3}Q}{l_v a_2} = 192,45 \text{ MPa} \leq \frac{f_u}{\beta_w \gamma_{M2}} = 404,71 \text{ MPa} \quad \checkmark$$

Para a_3 :

$$\sqrt{\sigma^2 + 3(\tau_{\perp}^2 + \tau_{\parallel}^2)} = \sqrt{3}\tau_{\parallel} = \frac{\sqrt{3}Qd}{l_v l_h a_3} = 117,61 \text{ MPa} \leq \frac{f_u}{\beta_w \gamma_{M2}} = 404,71 \text{ MPa} \quad \checkmark$$

Ejercicio 9 (resolución paramétrica)

Fuente: Argüelles R et al, 2007

Unión articulada viga-columna mediante apoyo sobre casquillo no rigidizado**a) Punto de aplicación de la reacción R_{sd}**

a1) Según las especificaciones del AISC, la reacción R_{sd} se propaga con un ángulo de 45° a través del ala de la viga y hacia la sección del alma donde termina el radio de acuerdo. En esta sección la tensión es uniforme de valor f_y , extendiéndose en una longitud

$$L = b/2 + b/2 + k = b + k$$

con $k = t_f$ (espesor ala de la viga) + r (radio de acuerdo de la transición ala-alma de la viga).

Por tanto, se debe cumplir que $R_{sd} = (b + k) t_w f_y$

Despejando b (ancho de la distribución de tensiones de reacción en el angular) se obtiene

$$b = \frac{R_{sd}}{t_w f_y} - k$$

Al distribuirse estas tensiones a través del ala de la viga y concentrarse sobre el angular, el punto de aplicación de R_{sd} se sitúa en

$$e = d + b/2$$

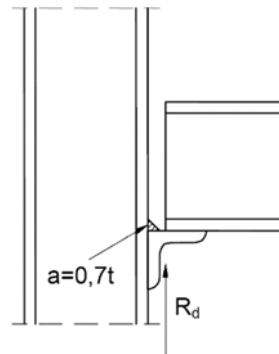
y al sustituir dentro de esta ecuación la expresión de b se obtiene

$$e = d + \frac{R_{sd}}{2t_w f_y} - \frac{k}{2}$$

Para evitar que la reacción R_{sd} provoque una plastificación del alma de la viga bajo tensiones normales, el angular debe contar con un lado mínimo

$$l_b \geq d + b = d + \frac{R_{sd}}{t_w f_y} - k$$

a2) Según el CTE DB SE-A, el punto de aplicación de R_{sd} actúa sobre el extremo de la viga



b) Comprobación a flexión del angular

El cortante R_{sd} transmitido por la viga produce un momento en la sección del angular donde empieza el radio de acuerdo igual a

$$M = R_{sd}(e - t_a - r_a)$$

El módulo resistente de esa sección es

$$W = \frac{I}{t_a/2} = \frac{\frac{1}{12} b_a t_a^3}{t_a/2} = \frac{b_a t_a^2}{6}$$

La comprobación a resistencia será

$$\sigma = \frac{M}{W} = \frac{6R_{sd}(e - t_a - r_a)}{b_a t_a^2} \leq \frac{f_y}{\gamma_{M0}}$$

c) Comprobación a cortante del angular

El cortante transmitido por la viga R_{Sd} produce una tensión tangencial máxima en la sección del angular donde empieza el radio de acuerdo que debe cumplir

$$\tau_{\max} = 1,5 \frac{R_{Sd}}{b_a t_a} \leq \frac{(f_y / \sqrt{3})}{\gamma_{M0}}$$

d) Comprobación de los cordones de soldadura

d1) Como distribución de tensiones en equilibrio con el cortante R_{Sd} y con el momento $M = R_{Sd}e$ se puede emplear la misma del problema 2 para los cordones a_1 :

$$n = \frac{M}{I} \frac{l_v}{2} = \frac{R_{Sd}e}{2 \frac{1}{12} a l_v^3} \frac{l_v}{2} = \frac{3 R_{Sd}e}{a l_v^2}$$

$$t_{\parallel} = \frac{R_{Sd}}{2 l_v a}$$

Las tensiones en el plano de la garganta resultan

$$\sigma = \frac{\sqrt{2}}{2} n + \frac{\sqrt{2}}{2} t_{\perp} = \frac{3\sqrt{2}}{2} \frac{R_{Sd}e}{a l_v^2}$$

$$\tau_{\perp} = -\frac{\sqrt{2}}{2} n + \frac{\sqrt{2}}{2} t_{\perp} = -\frac{3\sqrt{2}}{2} \frac{R_{Sd}e}{a l_v^2}$$

$$\tau_{\parallel} = t_{\parallel} = \frac{R_{Sd}}{2 l_v a}$$

Aplicándose, a continuación, el criterio de agotamiento

$$\sqrt{\sigma^2 + 3(\tau_{\perp}^2 + \tau_{\parallel}^2)} \leq \frac{f_u}{\beta_W \gamma_{M2}}$$

$$\sigma \leq \frac{f_u}{\gamma_{M2}}$$

d2) CTE DB SE-A: Se considerará válido el cordón de soldadura si tiene una anchura de garganta de 0,7 veces el espesor del ala del angular.

Caso particular: Diseño de la unión a resistencia total

El cortante máximo $R_{Sd,max}$ transmitido por la viga será el cortante resistente de la sección:

$$R_{Sd,max} = V_{c,Rd} = V_{pl,Rd} = A_V \frac{f_{yd}}{\sqrt{3}} = ht_w \frac{f_y/1,05}{\sqrt{3}} = \frac{ht_w f_y}{1,82}$$

siendo h el canto de la sección de la viga y t_w el espesor del alma.

Sustituyendo en las expresiones de comprobación anteriores se tiene:

Ancho de la distribución de tensiones de reacción en el angular $b = \frac{R_{Sd,max}}{t_w f_y} - k = \frac{h}{1,82} - k$

Punto de aplicación de $R_{Sd,max}$ $e = d + \frac{b}{2} = d + \frac{h}{3,64} - \frac{k}{2}$

Lado mínimo del angular $l_b \geq d + b = d + \frac{h}{1,82} - k$

Comprobación a flexión del angular $3,46ht_w(e - t_a - r_a) \leq b_a t_a^2$

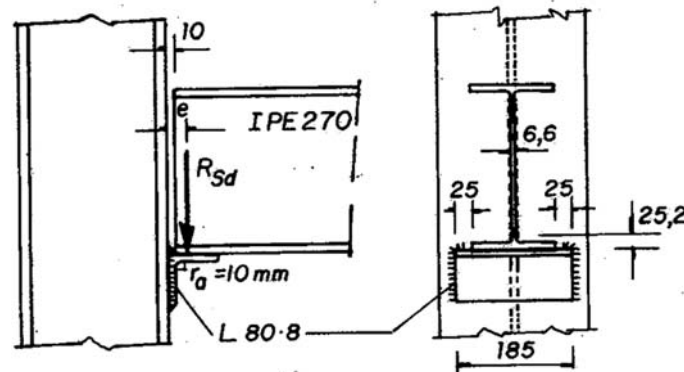
Comprobación a cortante del angular $1,5ht_w \leq b_a t_a$

Comprobación de los cordones de soldadura

$$\begin{aligned} \sigma &= \frac{\sqrt{2}}{2}n + \frac{\sqrt{2}}{2}t_{\perp} = 1,17 \frac{ht_w e}{a l_v^2} f_y \\ \tau_{\perp} &= -\frac{\sqrt{2}}{2}n + \frac{\sqrt{2}}{2}t_{\perp} = -1,17 \frac{ht_w e}{a l_v^2} f_y \\ \tau_{\parallel} &= t_{\parallel} = 0,275 \frac{ht_w}{l_v a} f_y \end{aligned} \quad \begin{aligned} \sqrt{\sigma^2 + 3(\tau_{\perp}^2 + \tau_{\parallel}^2)} &\leq \frac{f_u}{\beta_W \gamma_{M2}} \\ \sigma &\leq \frac{f_u}{\gamma_{M2}} \end{aligned}$$

Ejercicio 9 (aplicación numérica)

Comprobar el apoyo de una viga IPE 270 sobre un casquillo de angular 80×8 sin rigidizar, que ha de resistir una reacción de cálculo $R_{Sd} = 70$ kN. Acero S 275 JR. Cordones de soldadura con garganta de 5 mm.



Fuente: Argüelles R et al, 2007

a) Punto de aplicación de la reacción R_{Sd}

Según las especificaciones del AISC, el ancho de la distribución de tensiones de reacción en el angular es

$$b = \frac{R_{Sd}}{t_w f_y} - k = \frac{70000}{6,6 \cdot 275} - 25,2 = 13,37 \text{ mm}$$

El punto de aplicación de R_{Sd} se sitúa en

$$e = d + b/2 = 10 + 13,37/2 = 16,68 \text{ mm}$$

Para evitar que la reacción R_{Sd} provoque una plastificación del alma de la viga bajo tensiones normales, el angular debe contar con un lado mínimo

$$l_b = 80 \text{ mm} \geq d + b = 10 + 13,37 = 23,37 \text{ mm}$$

b) Comprobación a flexión del angular

$$\sigma = \frac{M}{W} = \frac{6R_{Sd}(e - t_a - r_a)}{b_a t_a^2} = \frac{6 \cdot 70000(16,68 - 8 - 10)}{185 \cdot 8^2} = -46,82 \text{ MPa} \quad \checkmark$$

No es necesaria la comprobación al resultar σ negativa, lo que significa que la sección de comprobación (donde empieza el radio de acuerdo) se sitúa por detrás (a la derecha) de R_{Sd} .

c) Comprobación a cortante del angular

$$\tau_{\max} = 1,5 \frac{R_{Sd}}{b_a t_a} = 1,5 \frac{70000}{185 \cdot 8} = 70,95 \text{ MPa} \leq \frac{(f_y / \sqrt{3})}{\gamma_{M0}} = \frac{(275 / \sqrt{3})}{1,05} = 151,21 \text{ MPa} \quad \checkmark$$

d) Comprobación de los cordones de soldadura

Las tensiones en el plano de la garganta resultan

$$\sigma = \frac{3\sqrt{2}}{2} \frac{R_{Sd} e}{a l_v^2} = \frac{3\sqrt{2}}{2} \frac{70000 \cdot 16,68}{5 \cdot 80^2} = 77,40 \text{ MPa}$$

$$\tau_{\perp} = -\frac{3\sqrt{2}}{2} \frac{R_{Sd} e}{a l_v^2} = -77,40 \text{ MPa}$$

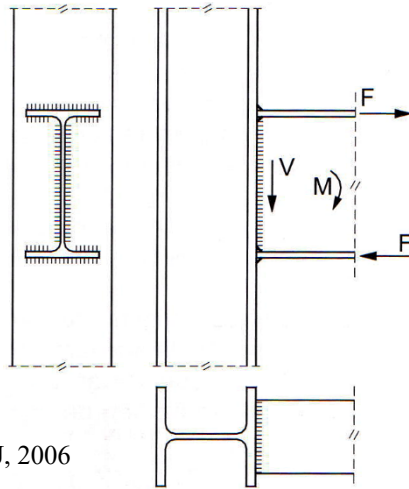
$$\tau_{\parallel} = t_{\parallel} = \frac{R_{Sd}}{2 l_v a} = \frac{70000}{2 \cdot 80 \cdot 5} = 87,5 \text{ MPa}$$

Y al aplicar el criterio de agotamiento se tiene

$$\sqrt{\sigma^2 + 3(\tau_{\perp}^2 + \tau_{\parallel}^2)} = \sqrt{77,40^2 + 3[(-77,40)^2 + 87,5^2]} = 216,64 \leq \frac{f_u}{\beta_w \gamma_{M2}} = 404,71 \text{ MPa}$$

$$\sigma = 77,40 \text{ MPa} \leq \frac{0,9 f_u}{\gamma_{M2}} = 309,60 \text{ MPa} \quad \checkmark$$

Ejercicio 10 (resolución paramétrica)



Fuente: Monfort J, 2006

Unión rígida no reforzada

Subíndices:

- b* viga
- c* pilar
- f* ala
- w* alma

a) Zona solicitada a tracción

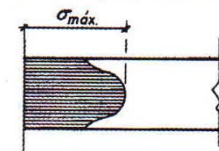
a1) *Comprobación del ala del pilar*

El ala traccionada de la viga presenta una distribución de

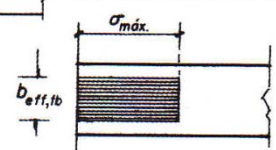
tensiones no uniforme. Para abordar el problema

se considera una distribución uniforme con un ancho eficaz $b_{ef,fb}$

Distribución real de tensiones en el ala superior de la viga.



Distribución uniforme de tensiones en el ancho eficaz



Fuente: Argüelles R et al, 2007

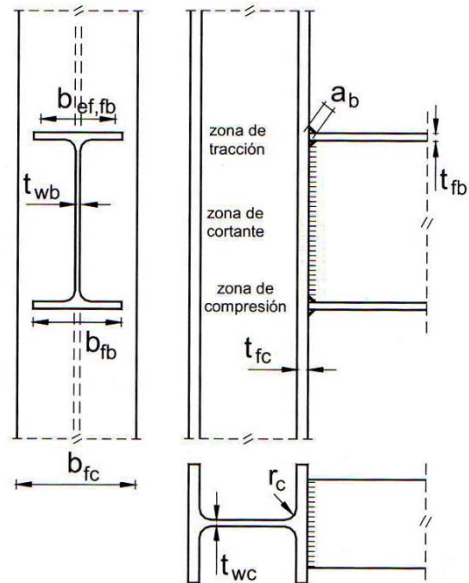
$$b_{ef,fb} = t_{wc} + 2r_c + 7 \frac{f_{yc} t_{fc}^2}{f_{yb} t_{fb}} \leq t_{wc} + 2r_c + 7t_{fc} \quad (\text{en pilares armados } \Rightarrow r_c = \sqrt{2a_c})$$

La resistencia a tracción de cálculo que, como máximo, puede admitir el ala del pilar sin rigidizar, para perfiles laminados, es

$$F_{t,fc,Rd} = \frac{f_{yb} t_{fb} b_{ef,fb}}{\gamma_{M0}}$$

Si $F_{t,fc,Rd} < 0,7 f_{yb} t_{fb} b_{fb} / \gamma_{M0}$ (70% de la resistencia completa del ala de la viga), es decir, si

$$b_{ef,fb} < 0,7 b_{fb} \Rightarrow \text{La unión debe rigidizarse}$$



Fuente: Monfort J, 2006

a2) *Soldadura unión ala viga-pilar* \Rightarrow Dimensionarla para la resistencia completa del ala viga

a3) *Comprobación a tracción transversal del alma del pilar*

La comprobación de resistencia a la tracción transversal del alma del pilar sin rigidizar es

$$F_{t,wc,Rd} = \frac{f_{yc} t_{wc} b_{ef,wc}}{\gamma_{M0}} \geq F_{t,Ed} \cong \frac{M_{b,Ed}}{z_b}$$

siendo $b_{ef,wc} = t_{fb} + 2\sqrt{2}a_b + 5(t_{fc} + r_c)$ (en pilares armados $\Rightarrow r_c = \sqrt{2}a_c$)

$M_{b,Ed}$ momento de cálculo en la viga

z_b distancia entre centros de las alas de la viga

El alma se puede reforzar mediante una chapa de alma o rigidizadores.

b) Zona solicitada a compresión (aplastamiento plástico del alma del pilar)

La resistencia de cálculo al aplastamiento del alma del pilar sin rigidizar es

$$F_{c,wc,Rd} = \frac{f_{yc} t_{wc} b_{ef,wc}}{\gamma_{M0}} \left(1,25 - 0,5 \frac{\gamma_{M0} \sigma_{n,Ed}}{f_{yc}} \right) \leq \frac{f_{yc} t_{wc} b_{ef,wc}}{\gamma_{M0}}$$

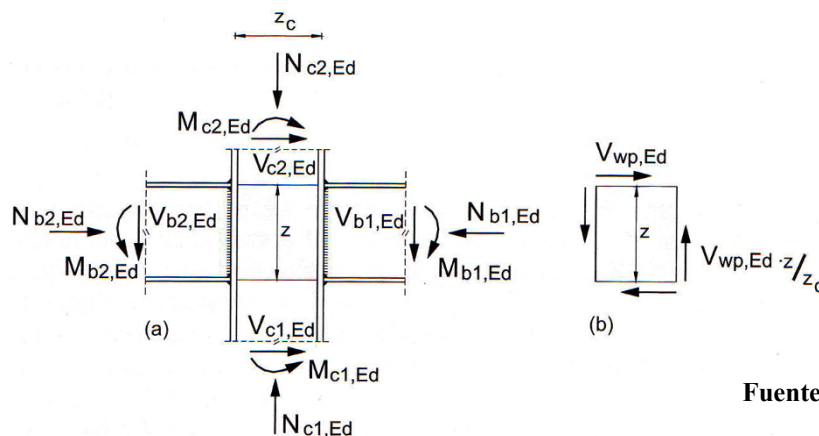
La comprobación de resistencia al aplastamiento del alma del pilar sin rigidizar es

$$F_{c,wc,Rd} \geq F_{c,Ed} \cong \frac{M_{b,Ed}}{z_b}$$

con $\sigma_{n,Ed}$ tensión normal de compresión en el alma del pilar debida a la flexocompresión actuante sobre él

c) Zona solicitada a esfuerzo cortante

La zona de cortante corresponde al recuadro del alma del soporte limitado por las cabezas de las vigas, en cuyos lados actúan las solicitaciones obtenidas al calcular la estructura



Fuente: Monfort J, 2006

c1) *Comprobación a cortante*

Por equilibrio resultan los esf. cortantes de nudo $V_{wp,Ed}$ que, para vigas de igual canto, son

$$V_{wp,Ed} = \frac{M_{b1,Ed} - M_{b2,Ed}}{z_b} - \frac{V_{c1,Ed} - V_{c2,Ed}}{2} \leq V_{wp,Rd} = \frac{0,9 f_y A_{vc}}{\sqrt{3} \gamma_{M0}}$$

con $V_{wp,Rd}$ resistencia a cortante del alma no rigidizada del pilar

A_{vc} área de cortante del pilar

Si no se cumple la comprobación, puede adosarse una chapa que aumente A_{vc} en el valor b_{stwc} (no se contará con más aumento aunque se coloque otra chapa al otro lado del alma).

c2) *Abolladura*

No se producirá abolladura si

$$\frac{d_c}{t_{wc}} < 60 \sqrt{\frac{235}{f_y}}$$

d) Interacciones con el esfuerzo cortante

Cuando el cortante de nudo es importante (uniones con viga a un sólo lado, o con diferencia apreciable entre los momentos de las vigas), debe considerarse la interacción entre el cortante y los demás esfuerzos de tracción o compresión sobre el nudo, por medio de un factor ω de reducción de las resistencias $F_{t,wc,Rd}$ y $F_{c,wc,Rd}$, obtenido para cada lado de la unión mediante:

$$\begin{array}{l} 0,5 < \beta < 1 \quad ; \quad \omega = \omega_1 + 2(1 - \beta)(1 - \omega_1) \\ \beta = 1 \quad ; \quad \omega = \omega_1 \\ 1 < \beta < 2 \quad ; \quad \omega = \omega_1 + (\beta - 1)(\omega_2 - \omega_1) \\ \beta = 2 \quad ; \quad \omega = \omega_2 \end{array}$$

con

$$\beta_1 = \left| \frac{M_{j,b1,Ed} - M_{j,b2,Ed}}{M_{j,b1,Ed}} \right| \leq 2, \quad \beta_2 = \left| \frac{M_{j,b2,Ed} - M_{j,b1,Ed}}{M_{j,b2,Ed}} \right| \leq 2$$

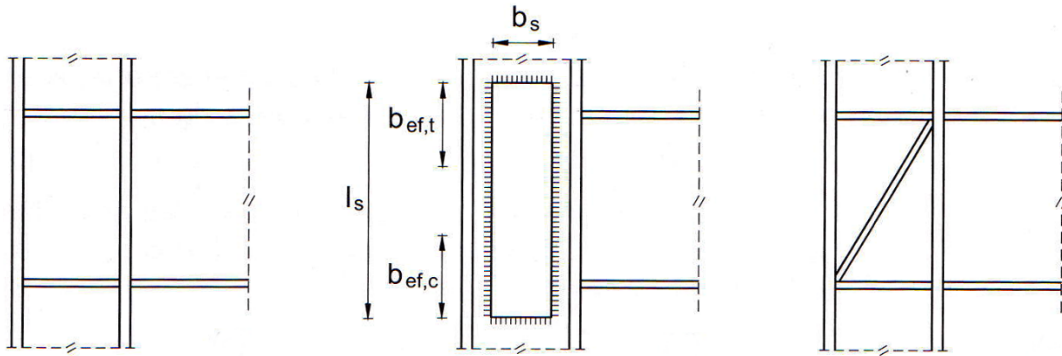
β_1 (lado dcho. del nudo)

β_2 (lado izqdo. del nudo)

y siendo

$$\omega_1 = \frac{1}{\sqrt{1 + 1,3 \left(\frac{b_{ef,wc} t_{wc}}{A_{vc}} \right)^2}}; \quad \omega_2 = \frac{1}{\sqrt{1 + 5,2 \left(\frac{b_{ef,wc} t_{wc}}{A_{vc}} \right)^2}}$$

Fuente: CTE DB SE-A, 2006

Tipos de refuerzos:**Fuente:** Monfort J, 2006

Ejercicio 10 (aplicación numérica)

En el nudo del pórtico representado en la figura se presentan los siguientes esfuerzos:

Viga:

$$N_{b,Ed} = -65 \text{ kN}$$

$$V_{b,Ed} = 277 \text{ kN}$$

$$M_{b,Ed} = 174 \text{ kNm}$$

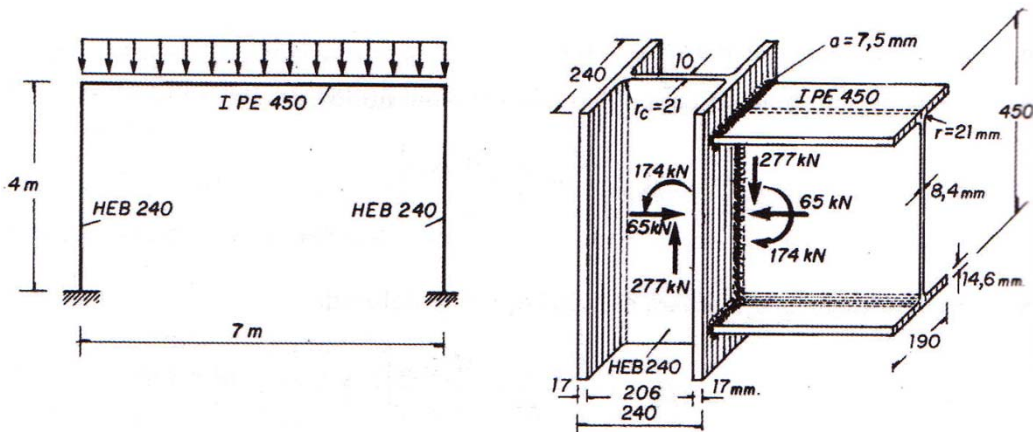
Pilar:

$$N_{c,Ed} = -277 \text{ kN}$$

$$V_{c,Ed} = 65 \text{ kN}$$

$$M_{c,Ed} = 174 \text{ kNm}$$

Se pide estudiar la posibilidad de realizar la unión rígida sin refuerzos. Acero S 275 JR.



Fuente: Argüelles R et al, 2007

a) Zona solicitada a tracción

a1) Comprobación del ala del pilar

Ancho eficaz del ala de la viga

$$b_{ef,fb} = t_{wc} + 2r_c + 7 \frac{f_{yc} t_{fc}^2}{f_{yb} t_{fb}} = 10 + 2 \cdot 21 + 7 \frac{275 \cdot 17^2}{275 \cdot 14,6} = 190,56 \text{ mm}$$

pero $b_{ef,fb} \leq t_{wc} + 2r_c + 7t_{fc} = 10 + 2 \cdot 21 + 7 \cdot 17 = 171 \text{ mm}$

luego $b_{ef,fb} = 171 \text{ mm}$

Al ser $b_{ef,fb} = 171 > 0,7b_{fb} = 0,7 \cdot 190 = 133 \text{ mm} \Rightarrow$ No es necesario rigidizar la unión

a2) Soldadura unión ala viga-ala pilar

Se dimensiona para asegurar la resistencia completa del ala de la viga que, por unidad de anchura, es

$$275 \cdot 14,6 / 1,05 = 3823,81 \text{ N/mm}$$

La tensión normal en el plano abatido de la garganta es

$$n = 3823,81/2/7,5 = 254,92 \text{ MPa}$$

Las tensiones en el plano de la garganta resultan

$$\sigma = \frac{\sqrt{2}}{2} n = 180,26 \text{ MPa}$$

$$\tau_{\perp} = -\frac{\sqrt{2}}{2} n = -180,26 \text{ MPa}$$

$$\tau_{\parallel} = t_{\parallel} = 0$$

Y al aplicar el criterio de agotamiento se tiene

$$\sqrt{\sigma^2 + 3(\tau_{\perp}^2 + \tau_{\parallel}^2)} = \sqrt{180,26^2 + 3(-180,26)^2} = 360,51 \text{ MPa} \leq \frac{f_u}{\beta_W \gamma_{M2}} = 404,71 \text{ MPa}$$

$$\sigma = 180,26 \text{ MPa} \leq \frac{0,9f_u}{\gamma_{M2}} = 309,60 \text{ MPa}$$

a3) *Comprobación a tracción transversal del alma del pilar*

La comprobación de resistencia a la tracción transversal del alma del pilar sin rigidizar es

$$F_{t,wc,Rd} = \frac{f_{yc} t_{wc} b_{ef,wc}}{\gamma_{M0}} = \frac{275 \cdot 10 \cdot 225,81}{1,05} = 591,41 \text{ kN} \geq$$

$$\geq F_{t,Ed} \cong \frac{M_{b,Ed}}{z_b} = \frac{174}{(0,45 - 0,0146)} = 399,63 \text{ kN}$$

$$\text{con } b_{ef,wc} = t_{fb} + 2\sqrt{2}a_b + 5(t_{fc} + r_c) = 14,6 + 2\sqrt{2} \cdot 7,5 + 5(17 + 21) = 225,81 \text{ mm}$$

b) Zona solicitada a compresión (aplastamiento plástico del alma del pilar)

La tensión normal de compresión en el alma del pilar debida a la flexocompresión actuante sobre él es

$$\sigma_{n,Ed} = \frac{N_{c,Ed}}{A} + \frac{M_{c,Ed}}{I_y} y = \frac{277000}{10600} + \frac{174 \cdot 10^6}{113 \cdot 10^6} (120 - 21 - 17) = 26,13 + 126,27 = 152,40 \text{ MPa}$$

La resistencia de cálculo al aplastamiento del alma del pilar sin rigidizar es

$$F_{c,wc,Rd} = \frac{f_{yc} t_{wc} b_{ef,wc}}{\gamma_{M0}} \left(1,25 - 0,5 \frac{\gamma_{M0} \sigma_{n,Ed}}{f_{yc}} \right) = \frac{275 \cdot 10 \cdot 225,81}{1,05} \left(1,25 - 0,5 \frac{1,05 \cdot 152,40}{275} \right) =$$

$$= 591407 \cdot 0,959 = 567,16 \text{ kN}$$

$$F_{c,wc,Rd} = \frac{f_{yc} t_{wc} b_{ef,wc}}{\gamma_{M0}} \cdot 0,959 = 567,16 \text{ kN} \leq \frac{f_{yc} t_{wc} b_{ef,wc}}{\gamma_{M0}}$$

La comprobación de resistencia al aplastamiento del alma del pilar sin rigidizar es

$$F_{c,wc,Rd} = 567,16 \geq F_{c,Ed} \cong \frac{M_{b,Ed}}{z_b} = 399,63 \text{ kN} \quad \checkmark$$

c) Zona solicitada a esfuerzo cortante

c1) *Comprobación a cortante*

$$V_{wp,Ed} = \frac{M_{b,Ed}}{z_b} = \frac{174}{0,45 - 0,0146} = 399,63 \text{ kN} \leq$$

$$\leq V_{wp,Rd} = \frac{0,9 f_y A_{vc}}{\sqrt{3} \gamma_{M0}} = \frac{0,9 \cdot 275 \cdot 3320}{\sqrt{3} \cdot 1,05} = 451,82 \text{ kN} \quad \checkmark$$

con $A_{vc} = 3320 \text{ mm}^2$ (HEB 240)

c2) *Abolladura*

No se producirá abolladura si

$$\frac{d_c}{t_{wc}} = \frac{164}{10} = 16,4 < 60 \sqrt{\frac{235}{f_y}} = 60 \sqrt{\frac{235}{275}} = 55,46$$

d) Interacciones con el esfuerzo cortante

En uniones con viga a un sólo lado debe considerarse la interacción entre el cortante y los demás esfuerzos sobre el nudo, por medio de un factor w de reducción de las resistencias:

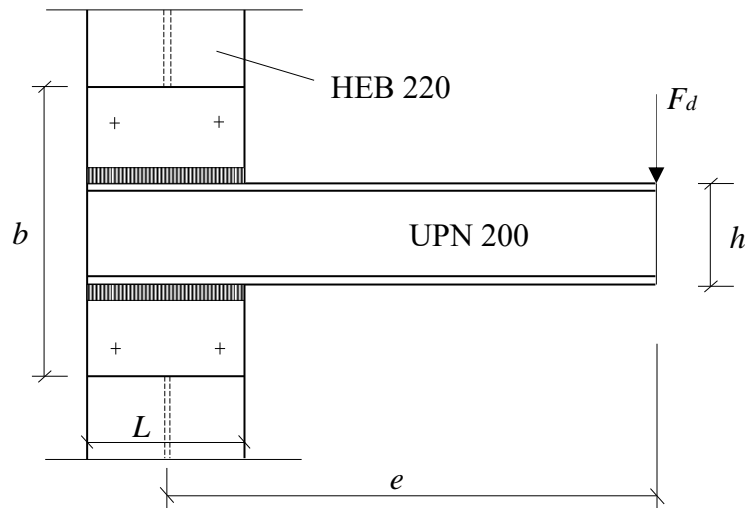
$$\text{Al ser } \beta_1 = 1 \Rightarrow \omega = \omega_1 \quad \omega_1 = \frac{1}{\sqrt{1 + 1,3 \left(\frac{b_{ef,wc} t_{wc}}{A_{vc}} \right)^2}} = \frac{1}{\sqrt{1 + 1,3 \left(\frac{225,81 \cdot 10}{3320} \right)^2}} = 0,79$$

$$F_{t,wc,Rd} = 0,79 \cdot 591,41 = 467,21 \geq F_{t,Ed} = 399,63 \text{ kN} \quad \checkmark$$

$$F_{c,wc,Rd} = 0,79 \cdot 567,16 = 448,06 \geq F_{c,Ed} = 399,63 \text{ kN}$$

Uniones soldadas. Ejercicios propuestos**Ejercicio 1**

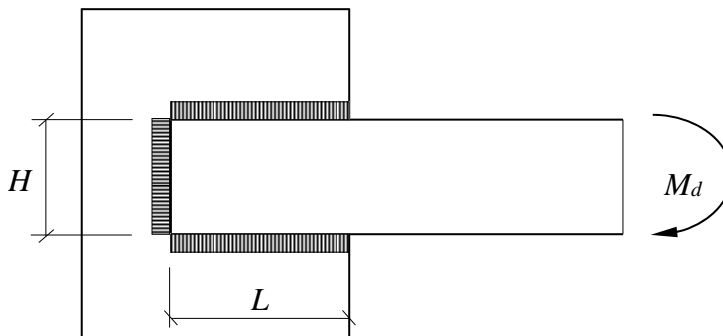
Dimensionar la unión soldada UPN-cartela de la figura.

**Datos:**

- $F_d = 50 \text{ kN}$
- $e = 0,80 \text{ m}$
- Acero S 275 JR

Ejercicio 2

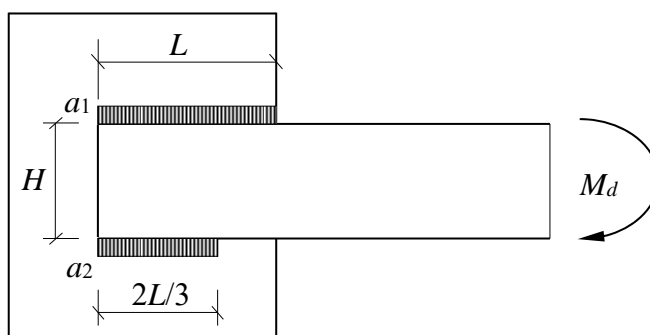
Dimensionar la unión soldada representada en la figura adjunta, con la condición de que el cordón vertical se encuentre solicitado.

**Datos:**

- $M_d = 50 \text{ kNm}$
- $H = 200 \text{ mm}$
- $L = 300 \text{ mm}$
- Acero S 275 JR
- Utilizar un único valor de garganta (a)

Ejercicio 3

Dimensionar la unión soldada representada en la figura adjunta.

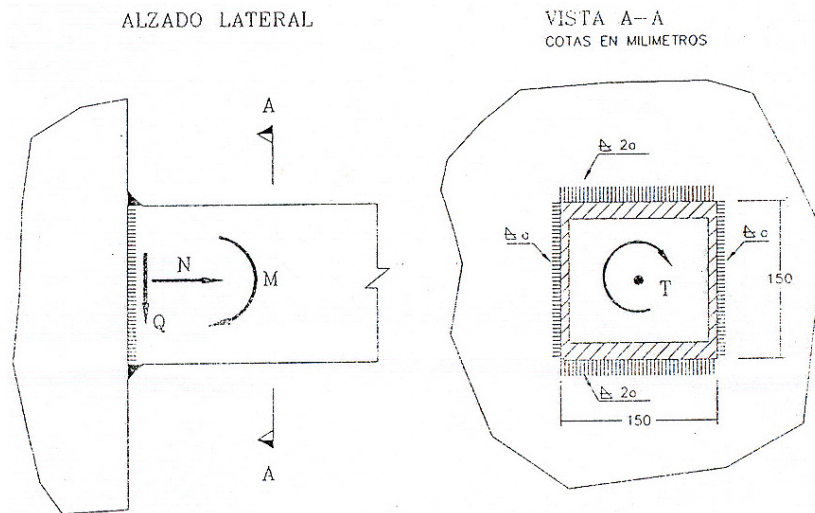
**Datos:**

- $M_d = 50 \text{ kNm}$
- $H = 200 \text{ mm}$
- $L = 300 \text{ mm}$
- Acero S 275 JR

Ejercicio 4

Obtener una fórmula de dimensionamiento de la unión plana de la figura.

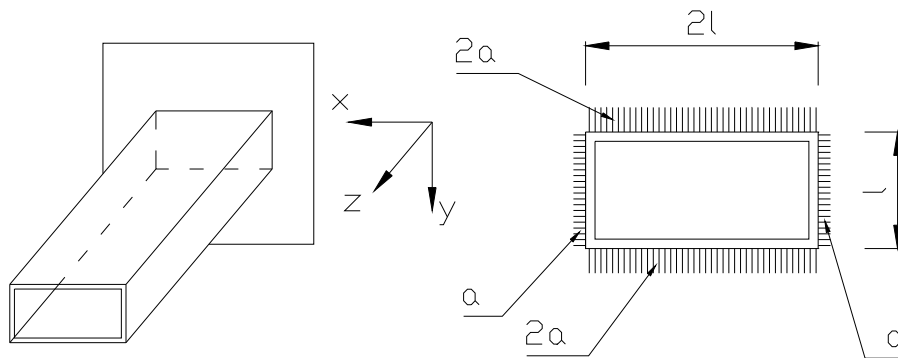
Utilizar acero S 275 JR.



Fuente: Atienza JR, 1994

Ejercicio 5

Deducir la expresión que permite dimensionar a para la unión soldada de la figura.



Los esfuerzos de cálculo en la sección de empotramiento son: $N, V_x, V_y, M_x, M_y, M_T$

Utilizar acero S 275 JR.